

## ЭФФЕКТЫ ЭЛЕКТРОГИДРОДИНАМИЧЕСКОЙ НЕСТАБИЛЬНОСТИ В СМЕКТИЧЕСКИХ ЖИДКИХ КРИСТАЛЛАХ ТИПА С

© 2013 г. О. А. Денисова\*, А. Н. Чувыров

\* Уфимский государственный университет экономики и сервиса,

E-mail: denisovaolga@bk.ru

Башкирский государственный университет, Уфа

Поступила в редакцию 26.06.2012 г.

Исследованы эффекты электрогидродинамической неустойчивости в смектических жидкокристаллах типа С в электрическом поле. Объектом изучения служили ориентированные слои пара-оксибензойной кислоты, обладающие смектической фазой. Наблюдаемые эффекты делятся на три группы по характеру движения центров инерции молекул, ориентации директора и слоев смектического жидкого кристалла типа С. Экспериментально обнаружены неустойчивости типа азимутальных доменов и доменов Капустина–Вильямса. Ячейка представляла собой две стеклянные пластины с электродами из двуокиси олова, разделенные майларовыми прокладками заданной толщины. Рассмотрены различные схемы поворота доменов. Обнаружено, что электрогидродинамическая неустойчивость зависит от геометрии слоя.

DOI: 10.7868/S0023476113020070

### ВВЕДЕНИЕ

Смектические жидкие кристаллы (**СЖК**) типа С – двусосные анизотропные среды, характеризующиеся тензором упорядочения  $Q_{\alpha\beta}$  с отличными от нуля компонентами  $Q_{zz}, Q_{xz}, Q_{xx}, Q_{yy}$  и условием  $Q_{xx} \neq Q_{yy} \neq 0$  [1]. Это означает аналогию двумерным нематическим жидким кристаллам (**НЖК**) в плоскости отдельного смектического слоя с наклоном директора на угол  $\psi$  относительно нормали к поверхности слоя. Наклон характеризуется единичным вектором **C**, лежащим в плоскости слоя (**C**-директор). В соседних слоях направления **C**-директора параллельны друг другу, а поле **C**-директора обладает дальним порядком. В направлении нормали к слоям СЖК С ведут себя аналитично СЖК A, но в плоскости слоя свойства **C**-директора аналогичны НЖК. В связи с этим, когда эффекты “просачивания” слоев отсутствуют при интерпретации многих явлений, удобно рассматривать однослойное квазинематическое приближение с дальнейшим обобщением на весь объем.

Явление электрогидродинамической нестабильности (ЭГДН) в НЖК к настоящему времени хорошо изучено. В ряде работ [2–5] проводилось изучение ЭГДН в СЖК типа С, но в целом эти работы не носят систематического характера. Основная их трудность – это получение тонких ориентированных слоев. В настоящей работе исследованы эффекты ЭГДН в ориентированных образцах 7, 8 – гомологов ряда пара-оксибензойной кислоты, обладающих смектической фазой с

$\varepsilon_a < 0$ . Методы изучения доменных структур в СЖК С подробно изложены в [4].

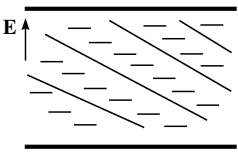
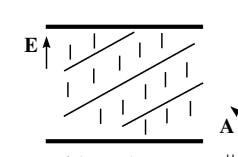
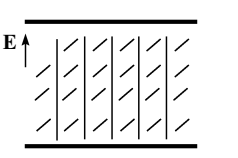
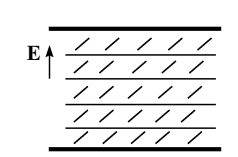
Стационарный эффект ЭГДН в СЖК С в значительной степени зависит от предварительной ориентации слоя смектика. По-видимому, наблюдаемые эффекты можно разделить на три группы, различающиеся характером движения центров инерции молекул, ориентацией директора и слоев СЖК С в электрическом поле: неустойчивость типа Капустина–Вильямса, азимутальная неустойчивость, развитая ЭГДН, определяемая формированием и движением дисклиниций.

Для упрощения дальнейшего рассмотрения введем специальные обозначения, характеризующие потоки, ориентацию **C**-директора и электрического поля, а именно: **A** – компонент директора, перпендикулярный смектическому слою; **C** – компонент директора вдоль слоя; **v** – единичный вектор, перпендикулярный слою СЖК; **μ** – вектор угловой скорости центров инерции молекул.

### МЕТОДИКА ЭКСПЕРИМЕНТА

Исследования ЭГДН проводились по стандартной методике [4], ячейка представляла собой две стеклянные пластины с электродами из двуокиси олова  $\text{SnO}_2$ , разделенные майларовыми прокладками заданной толщины. Для задания однородной ориентации молекул СЖК С на электроды под различными углами напылялись тонкие слои хрома толщиной от 100 Å. Толщина этих пленок определялась с помощью эллипсометра по стандартной методике [6]. Планарная ориен-

Типы электрогидродинамической неустойчивости в СЖК С и оптические картины доменных структур

Пункт	Ориентация	Тип структуры и методы получения	ЭГДН в постоянных полях	ЭГДН в переменных полях	Поворот доменов
1	 $E \neq 0 \{E \parallel v, \mu \parallel A\}$	Простая веерообразная, сферолиты, полировка поверхности электродов	$U_{1n}$ – продольные домены, $U_{2n}$ – домены Капустина–Вильямса, ширина доменов постоянная	$U_{1n}$ – продольные домены с изменяющейся шириной, $U_{2n}$ – поперечные домены	$U_{3n}$ – поворот в переменных и постоянных полях, возникает новая ориентация доменов
2	 $E \neq 0 \{\mu \parallel C, C \parallel v\}$	Сферолиты, конфокальная, зернистая или мозаичная	$U_{1n}$ – продольные домены, $U_{2n}$ – домены Капустина–Вильямса	$U_{1n}$ – продольные домены, $U_{2n}$ – домены Капустина–Вильямса	$U_{3n}$ – поворот в переменных и постоянных полях
3	 $E \neq 0 \{(E, v) = \psi, \mu \parallel C\}$	Конфокальная, сферолиты, вертикальное напыление пленки хрома толщиной 100 Å	$U_{1n}$ – продольные домены	$U_{2n}$ – домены Капустина–Вильямса	
4	 $E \neq 0 \{\mu \parallel E, \mu \perp C\}$	Шлирен-текстура, косое напыление пленки хрома толщиной 100–200 Å	$U_{1n}$ – продольные домены	$U_{2n}$ – продольные домены	
5	 $E \neq 0 \{(C, E) = \psi, \mu \parallel E\}$	Мозаичная с осью нормальной к поверхности, косое напыление пленки хрома толщиной до 400–500 Å	Неустойчивость Хельфриха–Юро, квадратные домены		

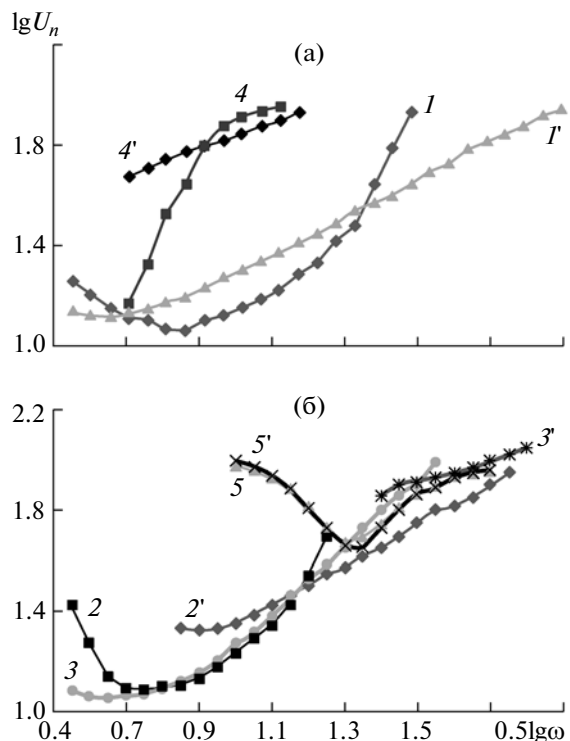
тация достигалась полировкой поверхности электродов. В работе исследовался СЖК С пара-оксибензойной кислоты при температуре 120°C. Пороги образования доменов и их строение изучались с использованием поляризационно-оптического микроскопа Axio Lab Pol (Карл Цейс, Германия), оснащенного приставкой с автоматической стабилизацией температуры с точностью до 0.1°C. Тестовый сигнал генерировался компьютером и через усилитель подавался на образец. Толщина образца определялась методом интерференции на спектрометре Shimadzu 3800.

Для объяснения зависимостей порога ЭГДН от проводимости, диэлектрической проницаемости и частоты рассматривались 2D-модели. Третье измерение учитывается при  $U > U_{1n}$ , но реальный НЖК является 3D-системой. Поэтому изучение и систематизация зависимостей  $U_{1n}$  от частоты в СЖК типа С, которые ближе к 2D-системам, является важной задачей.

## РЕЗУЛЬТАТЫ И ИХ ОБСУЖДЕНИЕ

Возможные типы ЭГДН в СЖК С и наблюдаемые оптические картины доменных структур сведены в таблицу. Качественные результаты, полученные на основе квазинематической модели, подтверждаются экспериментально. На рис. 1 приведены пороговые характеристики ЭГДН для различно ориентированных слоев СЖК С. Как правило, здесь реализуются азимутальные домены, но аналогично НЖК имеются две ветви нестабильности: низкочастотная с порогом  $U_{1n}$  и высокочастотная с порогом  $U_{2n}$ . Влияние частоты на пороговые поля также зависит от ориентации С-директора на границах. Аналогично НЖК наблюдается гистерезис порога  $U_{2n}$  при понижении частоты ниже точки пересечения А ветвей  $U_{1n}$  и  $U_{2n}$  (область  $\omega -$ ) (рис. 2).

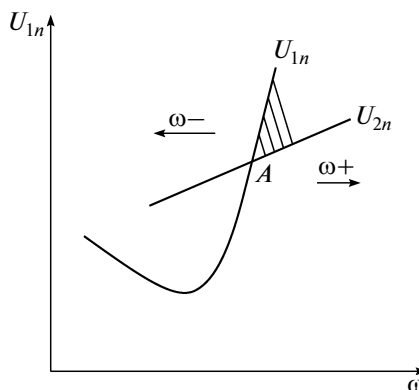
В соответствии с геометрией С-директора на низких частотах при условии  $\{E \parallel v, \mu \parallel A\}$  (таблица, п. 1) наблюдаются домены типа Капустина–



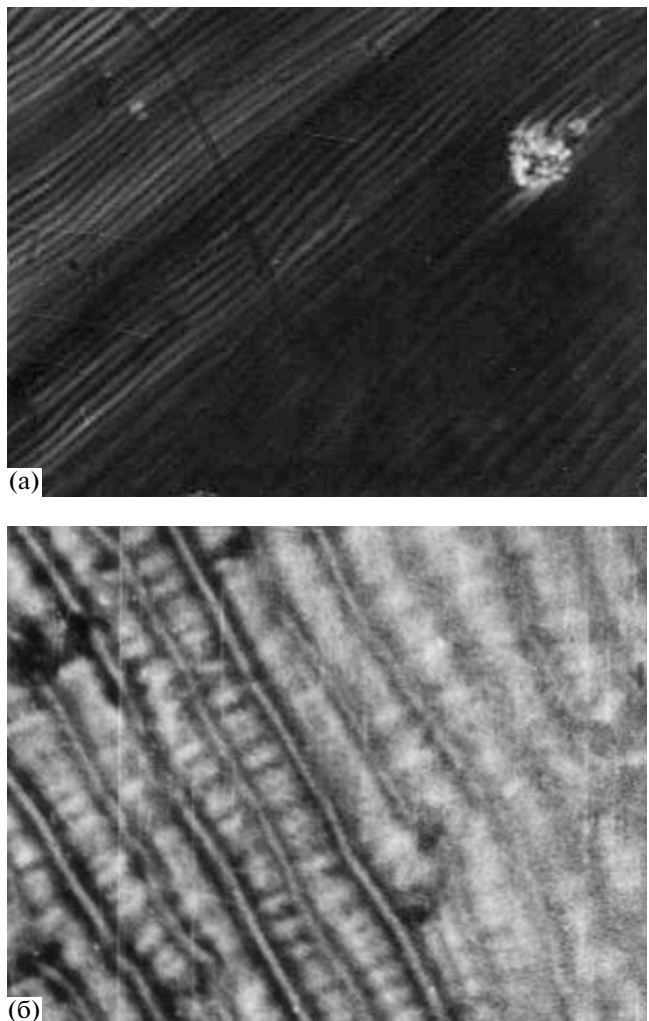
**Рис. 1.** Низкочастотная и обратная высокочастотная (со штрихом) зависимости пороговых полей ( $1-5$  – различные геометрии ориентации директора, пронумерованные в соответствии с номерами пунктов в таблице).

Вильямса и стандартная высокочастотная зависимость порога  $U_{1n} \sim \omega^{1/2}$  [5, 7] (рис. 1). Жидкий кристалл ориентирован планарно. Электрическое поле приложено перпендикулярно к ячейке. В этом случае наблюдается простая веерообразная структура или сферолиты. При действии постоянного электрического поля по достижении порога  $U_{1n}$  появляются продольные домены, по достижении порога  $U_{2n}$  – домены Капустина–Вильямса (рис. 3). В переменном электрическом поле имеют место продольные домены с изменяющейся шириной (порог  $U_{1n}$ ), затем поперечные (порог  $U_{2n}$ ). Схема поворота доменов –  $\{\mathbf{E} \parallel \mathbf{v}, \mathbf{C} \perp \mathbf{v}\} \rightarrow \{\mathbf{E} \parallel \mathbf{v}, \mathbf{\mu} \parallel \mathbf{A}, \mathbf{C} \perp \mathbf{v}\}$ .

Два других случая ориентации директора, представленные в таблице, пп. 2 и 3 ( $\{\mathbf{\mu} \parallel \mathbf{C}, \mathbf{C} \parallel \mathbf{v}\}$  и  $(\mathbf{E}, \mathbf{v}) = \psi, \mathbf{\mu} \parallel \mathbf{C}$ ), аналогичны НЖК, когда директор ориентирован под углом к электроду [5]. В этом случае реализуется, как и в НЖК, азимутальная нестабильность с частотной зависимостью порога  $U_{2n} \sim \omega$  в области диэлектрической неустойчивости. В случае 2 наблюдаются конфокальная, зернистая, мозаичные структуры или сферолиты. При действии постоянного электрического поля по достижении порога  $U_{1n}$  появляются продольные домены, по достижении порога



**Рис. 2.** Иллюстрация пересечения порогов различных типов доменов путем смены режимов ЭГДН в СЖК С при повышении напряжения от  $U_{2n}$  на величину  $U_{1n}-U_{2n}$ .



**Рис. 3.** Разновидности доменов: а – продольные домены, соответствующие геометриям п. 1, 2, 3 в таблице; б – случай одновременного сосуществования доменов Капустина–Вильямса и продольных доменов п. 1, 2 в таблице (масштаб 1 : 100).

$U_{2n}$  – домены Капустина–Вильямса. В переменном электрическом поле имеют место продольные домены (порог  $U_{1n}$ ), затем домены Капустина–Вильямса (порог  $U_{2n}$ ). В случае 3 рассматривается гомеотропная ориентация молекул ЖК. Типы структур – конфокальная или сферолитная. По достижении порога  $U_{1n}$  наблюдаются продольные домены в постоянном электрическом поле. В переменном электрическом поле – домены Капустина–Вильямса (рис. 3). Схема поворота доменов –  $\{\mathbf{E} \parallel \mathbf{v}, \mathbf{\mu} \perp \mathbf{C}, (\mathbf{C}, \mathbf{v}) = \psi\} \rightarrow \{\mathbf{E} \parallel \mathbf{v}, \mathbf{C} \perp \mathbf{v}\}$ .

Когда  $\{\mathbf{\mu} \parallel \mathbf{E}, \mathbf{\mu} \perp \mathbf{C}\}$  (таблица, п. 4), пороговое напряжение зависит от частоты как  $U_{2n} \sim \omega^{2/3}$ . Заданная ориентация ЖК-молекул получается в результате косого напыления пленки из хрома толщиной 100–200 Å. Наблюданная структура – шлирен-текстура. По достижении порога в постоянных и переменных полях появляются продольные домены. В случаях 3 и 4 переходы разрешены лишь при  $\epsilon_a > 0$  и планарной ориентации  $\mathbf{C}$  директора. При этом ориентация новой доменной структуры зависит от напряжения выше порога Фредерикса. Схема поворота доменов –  $\{\mathbf{E} \parallel \mathbf{C} \parallel \mathbf{V}\} \rightarrow \{\mathbf{E} \parallel \mathbf{v}, \mathbf{C} \perp \mathbf{v}\}$ .

Наконец, при условии  $\{(\mathbf{C}, \mathbf{E}) = \psi, \mathbf{\mu} \parallel \mathbf{E}\}$  (таблица, п. 5) частотная зависимость порога  $U_{2n} \sim \omega^{3/2}$ . Заданная ориентация ЖК-молекул получается в результате косого напыления пленки из хрома толщиной 400–500 Å. Тип структуры – мозаичная с осью, нормальной к поверхности. В постоянном электрическом поле наблюдается неустойчивость Хельфриха–Юро и квадратные домены. Схема поворота доменов –  $\{\mathbf{E} \parallel \mathbf{v}, \mathbf{C} \perp \mathbf{v}\} \rightarrow \{\mathbf{E} \parallel \mathbf{C} \parallel \mathbf{v}\}$ .

Последние две зависимости (рис. 1б) не согласуются ни с одной из известных на сегодняшний день теорий. По-видимому, они являются следствием нелинейного взаимодействия электрического поля с тонким слоем СЖК  $C$  при наличии эффекта Фредерикса.

Следует отметить другой механизм поворота, когда на высоких частотах одновременно реализуются зависимости пороговых напряжений доменов  $U_{2n} \sim \omega^{1/2}$  либо  $U_{2n} \sim \omega$  (рис. 1). Тогда наблюдаются азимутальные домены двух типов с переходом по напряжению:  $\{\mathbf{E} \parallel \mathbf{v}, \mathbf{C} \perp \mathbf{v}\} \rightarrow \{\mathbf{E} \parallel \mathbf{v}, (\mathbf{C}, \mathbf{v}) = \psi, \mathbf{C} \perp \mathbf{v}\}$  [8].

Наблюдаемые зависимости пороговых полей в диэлектрической области имеют другую важную особенность – гистерезис, из-за которого при понижении частоты кривая  $U_{2n}$  пересекает область  $U_{1n}$  (рис. 1) и может принимать значения  $U_{1n} > U_{2n}$ , как это приведено на рис. 1а. Возможно, сохранение диэлектрического режима при обратном ходе частоты связано с блокированием абсорбцион-

ных токов вблизи электродов, и они не участвуют в развитии ЭГДН.

Поведение СЖК выше порога ЭГДН в зависимости от геометрии слоя приводит к двум эффектам. Это либо поворот доменов, либо динамическое рассеяние света. Причем первый происходит в режиме стационарной ЭГДН и является следствием наклона молекул в слоях, а также смены режима действия электрического поля на СЖК. Это может осуществляться как за счет эффекта Фредерикса, так и при переходе от азимутальной нестабильности к доменам Капустина–Вильямса. Как правило, поворот доменов осуществляется в области частот выше точки  $A$  (область  $\omega +$ ) пересечения  $U_{1n}$  и  $U_{2n}$ . Для этого необходимо повысить напряжение на ячейке на величину  $U_{1n} - U_{2n}$ . Величина углов поворота доменов точно совпадает с углом наклона молекул и составляет  $57^\circ$ .

## ЗАКЛЮЧЕНИЕ

Жидкий кристалл – это одна из форм двумерного состояния вещества, и проведенные выше исследования еще раз это подчеркивают. В смектических жидких кристаллах типа  $C$  характер ЭГДН определяется геометрией слоя, а общие закономерности изменения пороговых полей в значительной степени аналогичны двумерным слоям НЖК. Причем однослоевое приближение, использованное для интерпретации полученных результатов, является удачным и позволяет качественно понять механизмы неустойчивости при различной геометрии слоя и контролируется геометрией слоя.

## СПИСОК ЛИТЕРАТУРЫ

1. Де Жен П. Физика жидкых кристаллов. М.: Мир, 1977. 367 с.
2. Frederiks V., Repjeva A. // Acta Phys. USSR. 1936. V. 4. P. 91.
3. Чувыров А.Н., Куватов З.Х. // Кристаллография. 1973. Т. 16. Вып. 2. С. 216.
4. Kelher H., Hatz R. Handbook of liquid crystals. Weinheim. Deer – field.Verlag Chen. 1980. 914 p.
5. Пикин С.А. Структурные превращения в жидкких кристаллах. М.: Наука, 1981. 337 с.
6. Горшков М.Н. Эллипсометрия. М.: Советское радио, 1974. 185 с.
7. Orsay liquid crystals group // Phys. Rev. Lett. 1970. V. 25. P. 1642.
8. Чувыров А.Н., Денисова О.А., Гирфанова Ф.М. Физика жидкких кристаллов: поверхность. Уфа: Уфимская гос. академия экономики и сервиса, 2009. 324 с.